

A decorative graphic in the top-left corner of the slide, consisting of four squares arranged in a 2x2 grid. The top-left square is dark grey, the top-right is blue, the bottom-left is blue, and the bottom-right is dark grey.

智能汽车路径规划与轨迹跟踪 系列算法精讲及Matlab程序实现

第6讲 人工势场法

创作者: Ally

时间: 2021/1/27

A decorative graphic in the bottom-right corner of the slide, consisting of four squares arranged in a 2x2 grid. The top-left square is dark grey, the top-right is blue, the bottom-left is blue, and the bottom-right is dark grey.

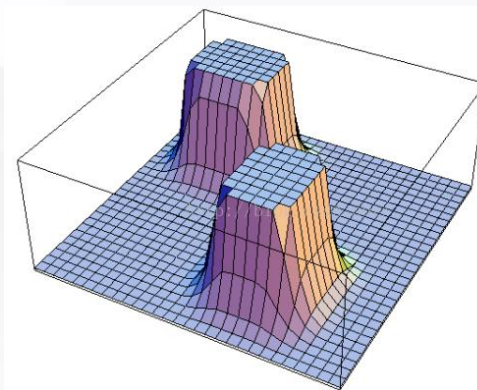
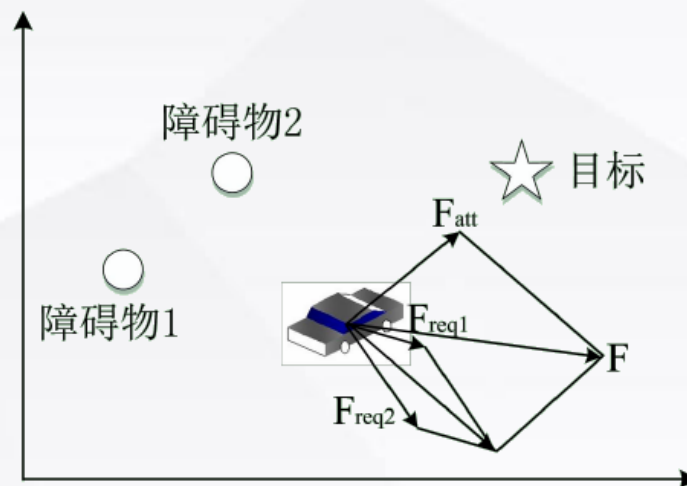


算法简介

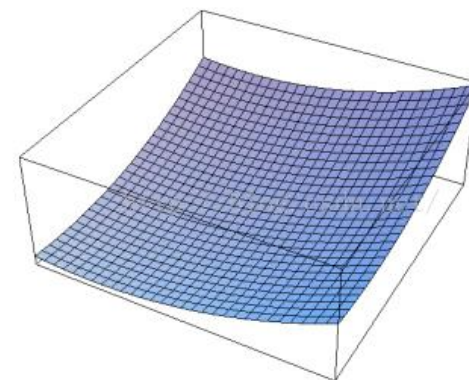
- 1986 年 Khatib 首先提出人工势场法，并将其应用在**机器人避障**领域，而现代汽车可以看作是一个高速行驶的机器人，所以该方法也可应用于汽车的避障路径规划领域。

算法思想

- 人工势场法的基本思想是在障碍物周围构建障碍物**斥力势场**，在目标点周围构建**引力势场**，类似于物理学中的电磁场。
- 被控对象在这两种势场组成的复合场中受到斥力作用和引力作用，斥力和引力的合力指引着被控对象的运动，搜索无碰的避障路径。
- 更直观而言，势场法是将障碍物比作是平原上具有高势能值的**山峰**，而目标点则是具有低势能值的**低谷**。



斥力场



引力场

算法精讲

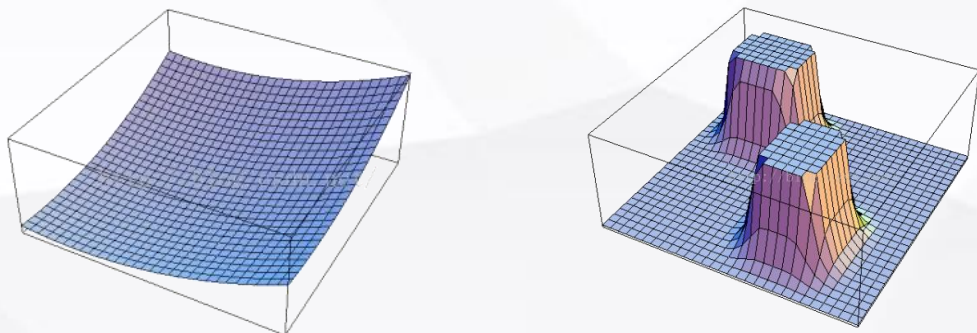
引力势场主要与汽车和目标点间的距离有关，距离越大，汽车所受的势能值就越大；距离越小，汽车所受的势能值则越小，所以引力势场的函数为：

$$U_{att}(q) = \frac{1}{2} \eta \rho^2(q, q_g)$$

其中 η 为正比例增益系数， $\rho(q, q_g)$ 为一个矢量，表示汽车的位置 q 和目标点位置 q_g 之间的欧几里德距离 $|q - q_g|$ ，矢量方向是从汽车的位置指向目标点位置。

相应的引力 $F_{att}(X)$ 为引力场的负梯度：

$$F_{att}(X) = -\nabla U_{att}(X) = \eta \rho(q, q_g)$$



决定障碍物斥力势场的因素是汽车与障碍物间的距离，当汽车未进入障碍物的影响范围时，其受到的势能值为零；在汽车进入障碍物的影响范围后，两者之间的距离越大，汽车受到的势能值就越小，距离越小，汽车受到的势能值就越大。

斥力势场的势场函数为：

$$U_{req}(X) = \begin{cases} \frac{1}{2} k \left(\frac{1}{\rho(q, q_0)} - \frac{1}{\rho_0} \right)^2 & 0 \leq \rho(q, q_0) \leq \rho_0 \\ 0 & \rho(q, q_0) \geq \rho_0 \end{cases}$$

其中 k 为正比例系数， $\rho(q, q_0)$ 为一矢量，方向为从障碍物指向汽车，大小为汽车与障碍物间的距离 $|q - q_0|$ ， ρ_0 为一常数，表示障碍物对汽车产生作用的最大距离。

相应的斥力为斥力场的负梯度

$$F_{req}(X) = \begin{cases} k \left(\frac{1}{\rho(q, q_0)} - \frac{1}{\rho_0} \right) \frac{1}{\rho^2(q, q_0)} \nabla \rho(q, q_0) & 0 \leq \rho(q, q_0) \leq \rho_0 \\ 0 & \rho(q, q_0) \geq \rho_0 \end{cases}$$

算法精讲

- 设车辆位置为 (x, y) , 障碍物位置为 (x_g, y_g) 。则引力势场函数为:

$$U_{att}(q) = \frac{1}{2} \eta \rho^2(q, q_g)$$

$$\Rightarrow U_{att}(x, y) = \frac{1}{2} \eta \left[(x - x_g)^2 + (y - y_g)^2 \right]$$

- 故有

$$-grad U_{att}(x, y) = -\nabla U_{att}(x, y)$$

$$= -U'_{att,x}(x, y) \vec{i} - U'_{att,y}(x, y) \vec{j}$$

$$= -\eta(x - x_g) \vec{i} - \eta(y - y_g) \vec{j}$$

$$= \eta \left[(x_g - x) \vec{i} + (y_g - y) \vec{j} \right]$$

$$= \eta \sqrt{(x - x_g)^2 + (y_g - y)^2} = \eta \rho(q, q_g)$$

斥力势场函数为:

$$U_{req}(q) = \frac{1}{2} k \left(\frac{1}{\rho(q, q_0)} - \frac{1}{\rho_0} \right)^2 \Rightarrow U_{req}(x, y) = \frac{1}{2} k \left[\frac{1}{\sqrt{(x - x_0)^2 + (y - y_0)^2}} - \frac{1}{\rho_0} \right]^2$$

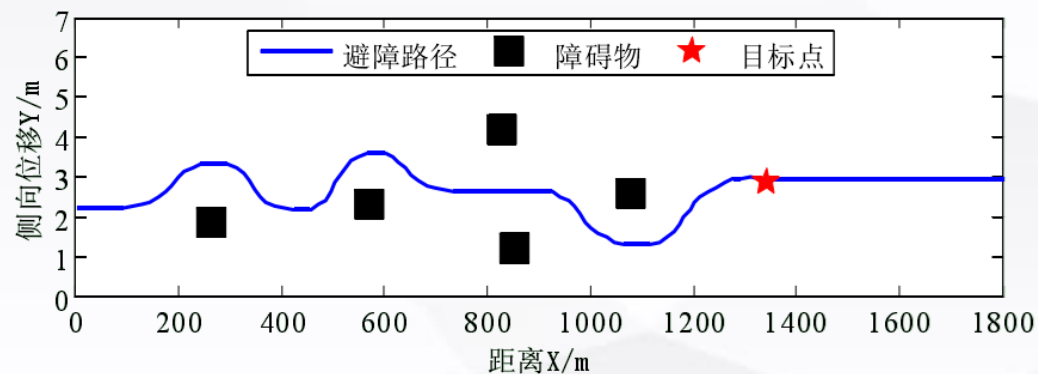
$$-\nabla U_{req}(x, y) = -U'_{att,x}(x, y) \vec{i} - U'_{att,y}(x, y) \vec{j}$$

$$\begin{aligned} -U'_{att,x}(x, y) \vec{i} &= -k \left[\frac{1}{\sqrt{(x - x_0)^2 + (y - y_0)^2}} - \frac{1}{\rho_0} \right] \left[\frac{1}{\sqrt{(x - x_0)^2 + (y - y_0)^2}} - \frac{1}{\rho_0} \right]' \vec{i} \\ &= -k \left[\frac{1}{\sqrt{(x - x_0)^2 + (y - y_0)^2}} - \frac{1}{\rho_0} \right] \left\{ -\frac{1}{2} \left[(x - x_0)^2 + (y - y_0)^2 \right]^{-\frac{3}{2}} \cdot \left[(x - x_0)^2 + (y - y_0)^2 \right]' \right\} \vec{i} \\ &= k \left[\frac{1}{\sqrt{(x - x_0)^2 + (y - y_0)^2}} - \frac{1}{\rho_0} \right] \left\{ \frac{1}{\left[(x - x_0)^2 + (y - y_0)^2 \right]^{\frac{1}{2}}} \left[(x - x_0)^2 + (y - y_0)^2 \right]^{\frac{1}{2}} (x - x_0) \right\} \vec{i} \\ &= k \left(\frac{1}{\rho(q, q_0)} - \frac{1}{\rho_0} \right) \cdot \frac{1}{\rho^2(q, q_0)} \cdot \frac{1}{\rho(q, q_0)} \cdot (x - x_0) \vec{i} \end{aligned}$$

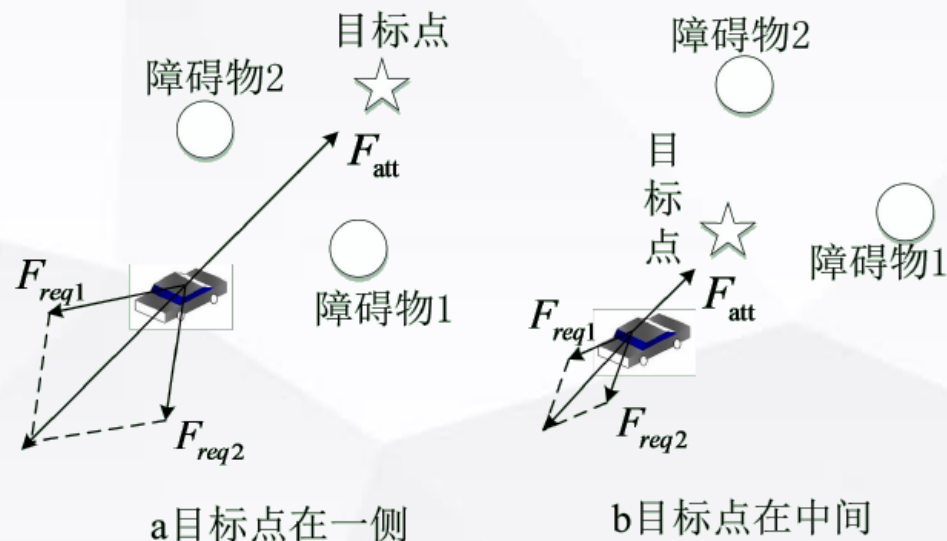
$$-\nabla U_{req}(x, y) = k \left(\frac{1}{\rho(q, q_0)} - \frac{1}{\rho_0} \right) \cdot \frac{1}{\rho^2(q, q_0)} \cdot \nabla \rho(q, q_0)$$

算法缺陷与改进

- 目标不可达的问题。由于障碍物与目标点距离太近，当汽车到达目标点时，根据势场函数可知，目标点的引力降为零，而障碍物的斥力不为零，此时汽车虽到达目标点，但在斥力场的作用下不能停下来，从而导致目标不可达的问题。



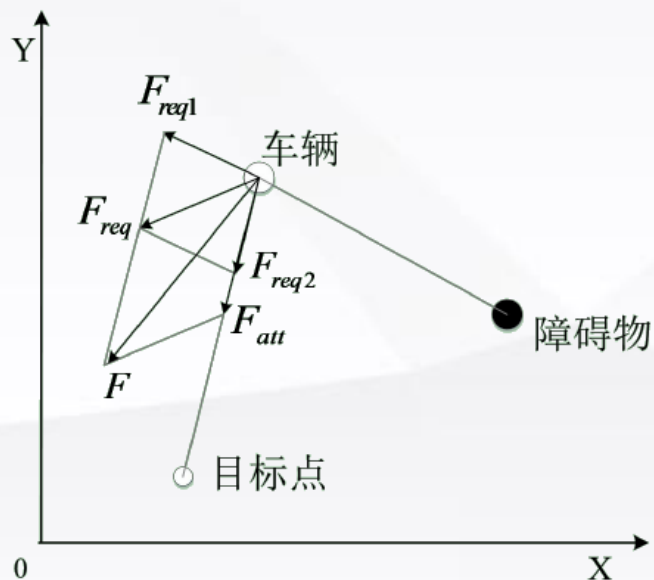
- 陷入局部最优的问题。车辆在某个位置时，如果若干个障碍物的合斥力与目标点的引力大小相等、方向相反，则合力为0，这将导致车辆不再“受力”，故无法向前搜索避障路径。



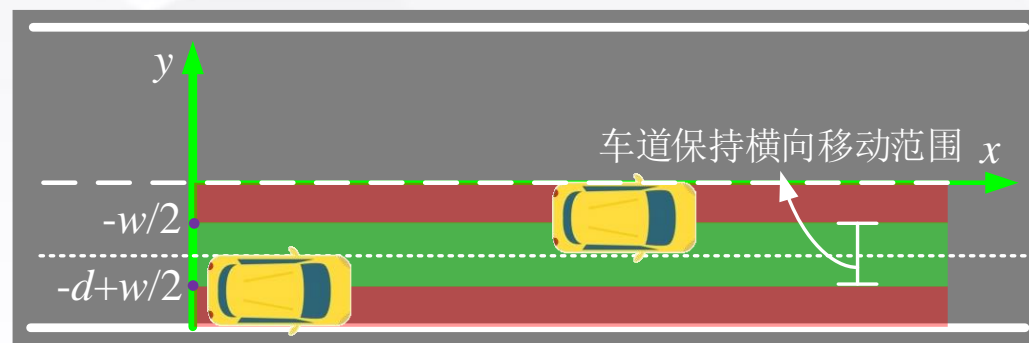
算法缺陷与改进

- 通过改进障碍物斥力势场函数来解决局部最优和目标不可达的问题；

$$\begin{cases} F_{reo1} = k \left(\frac{1}{\rho(q, q_0)} - \frac{1}{\rho_0} \right) \frac{\rho_g^n}{\rho^2(q, q_0)} \\ F_{reo2} = \frac{n}{2} k \left(\frac{1}{\rho(q, q_0)} - \frac{1}{\rho_0} \right)^2 \rho_g^{n-1} \end{cases}$$



- 通过建立道路边界斥力势场以限制汽车的行驶区域，并适当考虑车辆速度对斥力场的影响



$$F_{rep,edge} = \begin{cases} \eta_{edge} \cdot v \cdot e^{\left(\frac{-d}{2}-y\right)}, & -d + w/2 < y < -d/2 \\ \frac{1}{3} \eta_{edge} \cdot y^2, & -d/2 < y < -w/2 \\ -\frac{1}{3} \eta_{edge} \cdot y^2, & w/2 < y < d/2 \\ \eta_{edge} \cdot v \cdot e^{\left(y-\frac{d}{2}\right)}, & d/2 < y < d - w/2 \end{cases}$$